



北京邮电大学

第3讲-2 部分量子机器学习算法

高 飞

网络空间安全学院





➤ 部分量子机器学习算法

□ 有监督分类算法

- 最近邻相关算法

- 支持向量机

- 线性判别分析

□ 无监督分类算法

- K-means算法

□ 推荐系统

□ 神经网络

➤ 我们的相关成果



- **（二分类）问题：**已知 N 维的训练数据点 $v_i (i = 1, \dots, M)$ 分为 $\{A\}$ 和 $\{B\}$ 两类，给定测试数据点 u ，判定其所属类别
- **最近邻算法：**计算 u 与所有 v_i 的距离，以最近者的类别作为判定结果

对于适当的距离度量，若 $\min_{v_i \in \{A\}} |u - v_i| \leq \min_{v_j \in \{B\}} |u - v_j|$ ，则将 u 归为类别 $\{A\}$ ，反之则将其归为类别 $\{B\}$

- **最近质心算法：**计算 $\{A\}$ 和 $\{B\}$ 里数据点的均值作为其质心

如果 u 与 $\{A\}$ 的质心 $\text{mean}(\{A\})$ 更近，即 $|u - \text{mean}(\{A\})| \leq |u - \text{mean}(\{B\})|$ ，则将 u 归为类别 $\{A\}$ ，反之则将其归为类别 $\{B\}$

- **优势：**对于稀疏[非零元的个数为 $O(\text{polylog}N)$]且元素不太大的数据点
- ❑ 与直接计算的经典算法相比：量子算法^[1]关于维度参数 N 具有指数级加速效果，对于训练数据的个数 M 有接近平方级加速效果
- ❑ 与基于采样的经典算法相比：量子算法^[1]关于训练数据的个数 M 以及精度参数 ϵ 都有接近平方级加速效果

[1] Wiebe N, Kapoor A, Svore K. Quantum Algorithms for Nearest-Neighbor Methods for Supervised and Unsupervised Learning. Quantum Information & Computation, 2014, 15(3):318-358.



➤ 部分量子机器学习算法

□ 有监督分类算法

- 最近邻相关算法

- 支持向量机

- 线性判别分析

□ 无监督分类算法

- K-means算法

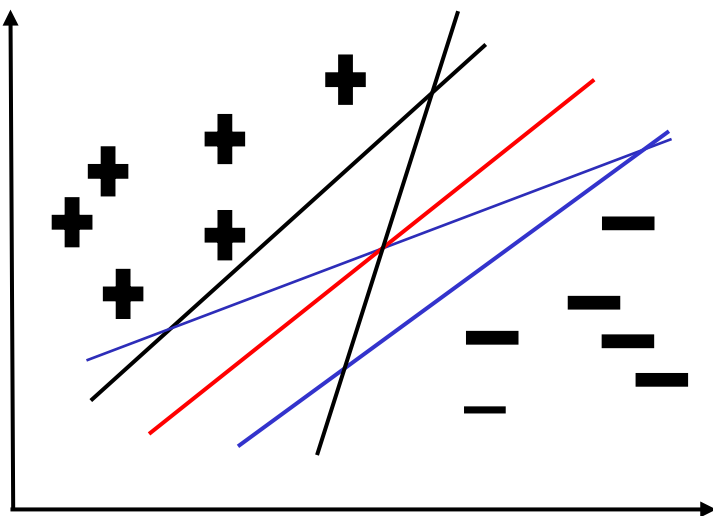
□ 推荐系统

□ 神经网络

➤ 我们的相关成果



- **问题：** 给定已分类好的训练样本 $D = \{(x_1, y_1), \dots, (x_m, y_m)\}$, $x_i \in R^n$, $y_i \in \{-1, +1\}$ 表示负类和正类, 基于训练集在样本空间中找到一个划分超平面, 将不同类别的样本分开



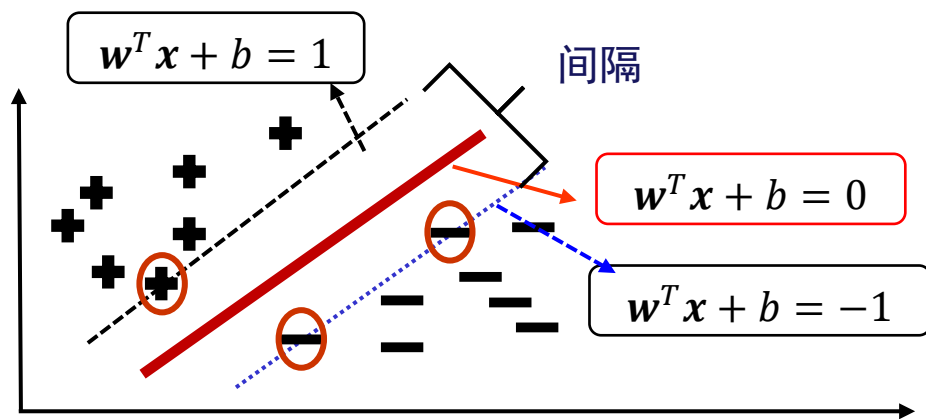
超平面方程: $w^T * x + b = 0$

点 x 到超平面的距离: $r = \frac{|w^T * x + b|}{\|w\|}$

➤ 超平面取法：两类数据点中，与超平面距离的最小值相同（取中间）

□ 支持向量：与超平面距离最小的点

□ 间隔：两个不同类的支持向量到超平面的距离之和 $r = \frac{2}{\|w\|}$



假设超平面 (w, b) 能将训练样本正确分类，即对训练样本点 (x_i, y_i) ，若 $y_i = 1$ ，则 $w^T * x_i + b \geq +c$ ；若 $y_i = -1$ ，则 $w^T * x_i + b \leq -c$ （一般取 $c = 1$ ）；
使等号成立的训练样本点为“支持向量”

➤ 目标：找“最大间隔”的超平面（鲁棒性高，可调整 w, b 来求解）

$$\max_{w, b} \frac{2}{\|w\|} \quad \text{s. t.} \quad y_i(w^T * x_i + b) \geq 1, i = 1, 2, \dots, m$$

➤ 新数据分类：若 $\text{sgn}(w^T * x_0 + b) > 0$ 为正类；反之为负类



- **优势：**2014年Rebentrost P等人[2]针对一类特殊的支持向量机——最小二乘支持向量机设计了量子算法，当数据矩阵的条件数 κ 与其维数 N 满足 $\kappa = O(\text{polylog}N)$ 时，该算法相比经典算法关于 N 和 M （训练数据的个数）均具有指数加速效果

[2] Rebentrost P, Mohseni M, Lloyd S. Quantum support vector machine for big data classification. Physical Review Letters, 2014, 113(13): 130503.



➤ 部分量子机器学习算法

□ 有监督分类算法

- 最近邻相关算法
- 支持向量机
- 线性判别分析

□ 无监督分类算法

- K-means算法

□ 推荐系统

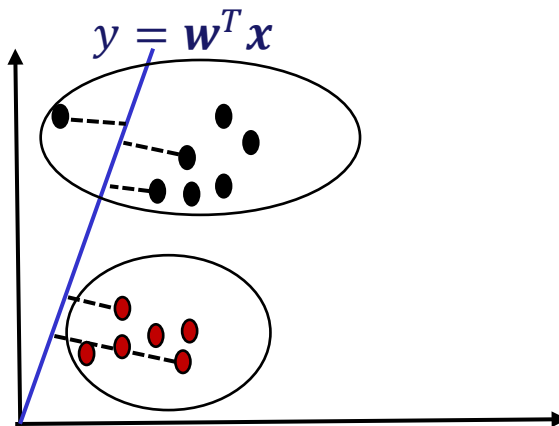
□ 神经网络

➤ 我们的相关成果



- 方法：将数据点投影到直线上，按投影点的位置来分类
 - 训练：将训练样本点投影到一条直线上，使得同类样本的投影点尽可能接近、异类样本的投影点尽可能远离
 - 分类：将新样本点投影到同一条直线上，再根据投影点的位置来判定类别

二维情形
的例子



- 优势：2016年Cong等人[3]设计了量子算法，在某些合理假设下相比于经典算法关于数据维数 N 和训练数据的个数 M 均具有指数加速效果



➤ 部分量子机器学习算法

□ 有监督分类算法

- 最近邻相关算法
- 支持向量机
- 线性判别分析

□ 无监督分类算法

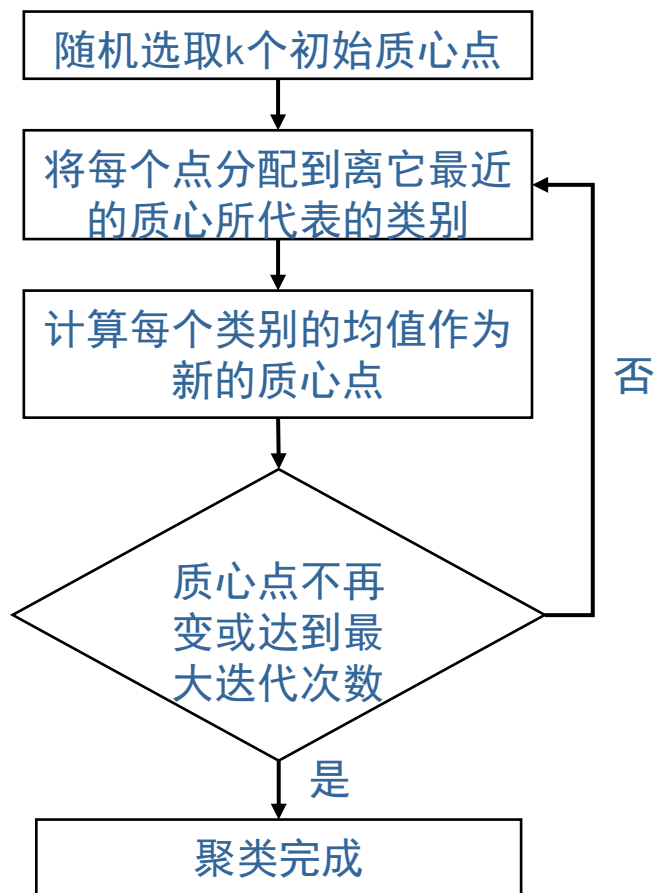
- K-means算法

□ 推荐系统

□ 神经网络

➤ 我们的相关成果

- **聚类问题：** 将一堆没有标签的数据点按照某个距离度量划分成几类
- k -means 算法（分为 k 类）



- **优势：** 对于稀疏且元素不太大的数据点，每次迭代，量子算法^[1]关于维度参数 N 具有指数级加速效果，关于类别个数 k 有接近平方级的加速效果

[1] Wiebe N , Kapoor A , Svore K . Quantum Algorithms for Nearest-Neighbor Methods for Supervised and Unsupervised Learning. Quantum Information & Computation, 2014, 15(3):318-358.



➤ 部分量子机器学习算法

□ 有监督分类算法

- 最近邻相关算法
- 支持向量机
- 线性判别分析

□ 无监督分类算法

- K-means算法

□ 推荐系统

□ 神经网络

➤ 我们的相关成果

- 目的：利用用户的购买记录（或调查问卷）为用户**提供商品推荐**
- 基于矩阵重构算法的推荐系统

□ 偏好矩阵

每个元素表示偏好程度，为了简单，
1表示喜欢，0表示不喜欢

	商品1	商品2	商品3	商品4
用户1	1	0	0	1
用户2	1	1	0	1
用户3	1	1	0	0
用户4	0	0	1	1
用户5	0	1	0	1

通常假设偏好矩阵近似于**低秩矩阵**（用户可以根据偏好分为少数几类）



- 目的：利用用户的购买记录（或调查问卷）为用户**提供商品推荐**
- 基于矩阵重构算法的推荐系统
 - ❑ 偏好矩阵
 - ❑ 采样：偏好矩阵 T 一般可看作是一个隐藏（hidden）矩阵，可通过采样（如调查问卷或者购买记录）得到部分信息，即采样矩阵 \hat{T}
 - ❑ 重构：根据**采样矩阵 \hat{T}** ，利用低秩要求，重构接近 T 的低秩矩阵 $\hat{T}_{(k)}$ ， k 是秩
 - ❑ 推荐：根据从 $\hat{T}_{(k)}$ 采样的数据为用户提供商品推荐
- 优势
 - ❑ 经典算法复杂度： $\text{poly}(MN)$ ，其中 M, N 为偏好矩阵的维度
 - ❑ 量子算法[4]：关于矩阵规模 MN 有**指数加速**
 - ❑ 量子启发式经典算法[5]：相对之前的经典算法关于矩阵规模有**指数加速**（但量子算法相比启发算法有多项式加速）

[4] I. Kerenidis, A. Prakash. Quantum Recommendation Systems. *ITCS 2017*, volume 67, pages 49.

[5] Tang E. A quantum-inspired classical algorithm for recommendation systems, STOC 2019.



➤ 部分量子机器学习算法

□ 有监督分类算法

- 最近邻相关算法
- 支持向量机
- 线性判别分析

□ 无监督分类算法

- K-means算法

□ 推荐系统

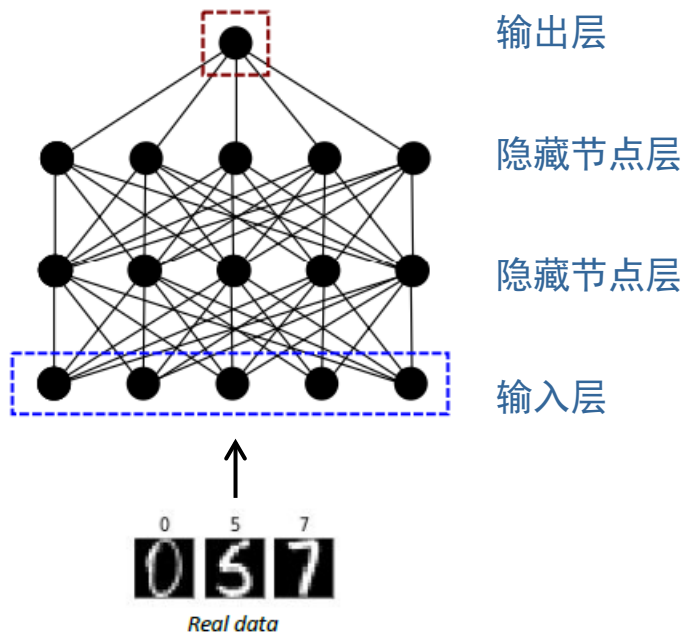
□ 神经网络

➤ 我们的相关成果



➤ 人工神经网络（ANN）：由相互连接的节点（神经元）构成

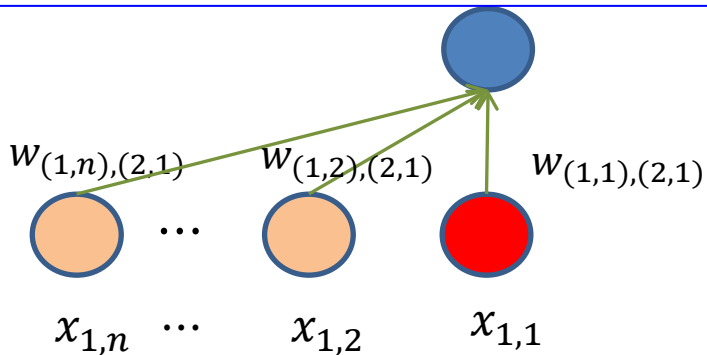
- 每条线代表输入/输出（下层输入到上层，底层以训练数据为输入）
- 每条连线的输入有一个权重 w （人工神经网络的记忆），是要训练的参数
- 节点的输出是（加权后）输入的一种特定函数，称为激励（activation）函数
- 训练：利用数值优化方法（如梯度下降法、牛顿法等），通过不断调整 w ，最小化代价函数 $L(w, D)$ ，即输出与标签的距离，其中 D 为训练数据集



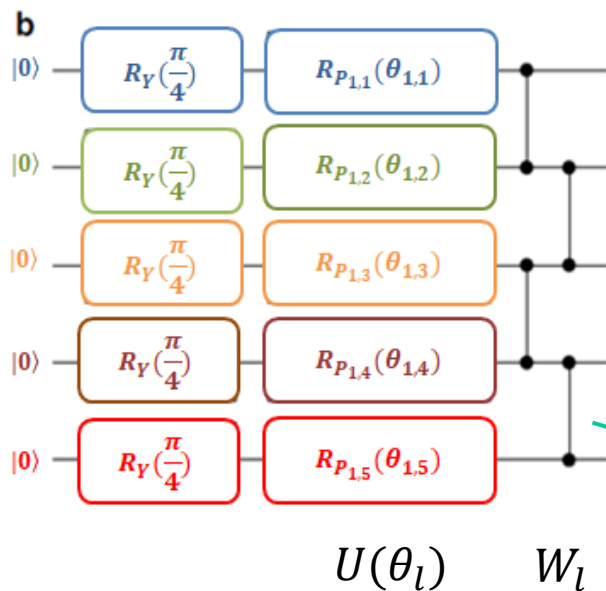
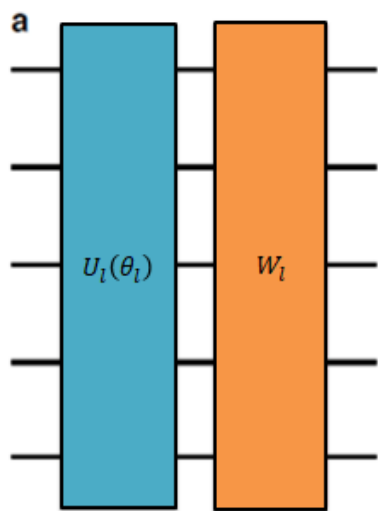
红点：输入为 $x_{1,1}$ ，输出为 $f_{1,1}(x_{1,1})$

蓝点：输入为 $x_{2,1}$ ，输出为 $f_{2,1}(x_{2,1})$

$$x_{2,1} = w_{(1,1),(2,1)}f_{1,1}(x_{1,1}) + \dots + w_{(1,n),(2,1)}f_{1,n}(x_{1,n})$$



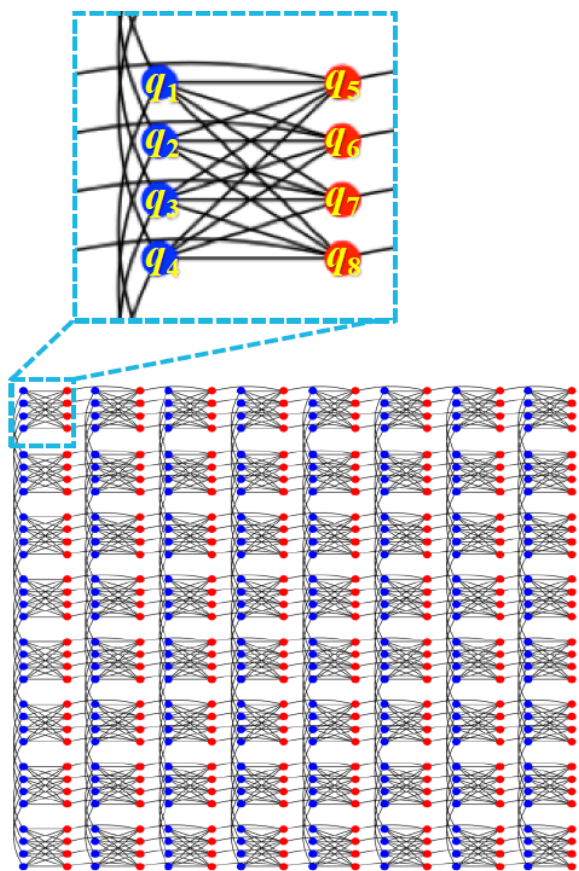
- 量子神经网络：用量子门（通常为单比特门或两比特门）作为节点
 - ❑ 每一层包括两个操作：旋转角度为 θ_l 的旋转门 $U(\theta_l)$ 和与角度无关的操作 W_l （通常为引入纠缠的算子如Cnot）
 - ❑ L层网络的一般形式： $U(\theta) = \prod_{l=1}^L U(\theta_l)W_l$
 - ❑ 训练：不同于经典神经网络调整节点间的权重 w ，量子神经网络则通过调整旋转角度为 θ_l 来最小化代价函数 $L(\theta, D)$



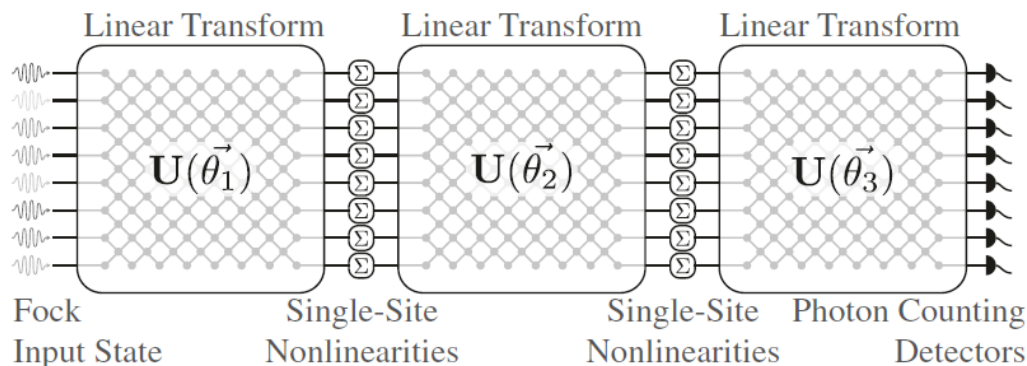
量子旋转门一般可以选为
 $R_x(\theta_j)$, $R_y(\theta_j)$ 或 $R_z(\theta_j)$,
旋转角度 θ_j 为待训练参数

CZ门

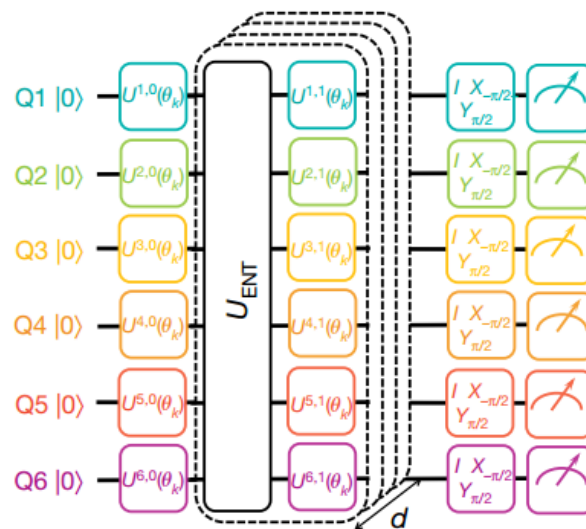
几种常见量子神经网络



基于量子退火机的神经网络[6, 7]，常用来求解多体系统的物理问题



基于光量子计算机的神经网络[8]，常用来区分量子态



基于超导量子计算机的神经网络[9]，常用来计算分子的基态和激发态

[6] Mohammad H. et al., Quantum Boltzmann Machine. Phys. Rev. X (2016).

[7] M. W. Johnson et al., Quantum annealing with manufactured spins. Nature (2016)

[8] Gregory R. et al., Quantum optical neural networks. npj (2019).

[9] Kandala, A. et al. Hardware-efficient variational quantum eigensolver for small molecules and quantum magnets. Nature (2017)

- 目的：对于任意一个 n -qubit的波函数 Ψ ，**是否存在一个神经网络**，使得波函数 Ψ 可以被表示为： $\Psi = \sum_s \Psi(s, W)|s\rangle$ ，其中 $s \in \{0,1\}^n$ ， $\Psi(s, W)$ 表示权重为 W 的神经网络在输入为 s 时的输出结果。
- 经典神经网络：
 - ❑ 2017^[10]：单层，可计算1维Ising模型、1维海森堡模型和2维海森堡模型的基态波函数
 - ❑ 2017^[11]：单层，无法描述包括Projected entangled pair 态，量子增强特征态，以及有能隙哈密顿量的基态等波函数（即：表示能力有限）
 - ❑ 2017^[11]：多层，当网络深度为 $\mathcal{O}(\frac{1}{\Delta}(n + \log(\frac{1}{\epsilon}))m^2)$ 时可以计算任意哈密顿量的基态波函数（ Δ 为哈密顿量 H 的能隙， ϵ 为误差， m 为 H 的耦合数量）——**超过一定层数才行**
- 量子神经网络：
 - ❑ 2018^[12]与2019年^[13]：单层，可高精度且有效地模拟氢分子、水分子以及锂化氢分子的基态（即有能隙哈密顿量的基态）波函数
 - ❑ 2020^[14]：多层，可以在给定精度下实现通用量子计算任务
 - ❑ 2020^[15]：（含有特殊结构的）单层，可以在给定精度下实现通用量子计算任务

[10] Carleo, G. and Troyer, M. Solving the quantum many-body problem with artificial neural networks. Science 355, 602-606, (2017).

[11] Xun Gao and Lu-Ming Duan, Efficient representation of quantum many-body states with deep neural networks. Nat. Commun. 8, 662, (2017).

[12] Rongxin Xia, and Sabre Kais, Quantum machine learning for electronic structure calculations, Nat. Commun. 9, 4195, (2018).

[13] Chang Yu Hsieh, Qiming Sun, Shengyu Zhang, and Chee Kong Lee, Unitary-Coupled Restricted Boltzmann Machine Ansatz for Quantum Simulations, arXiv:1912.02988, (2019).

[14] Kerstin Beer, Dmytro Bondarenko, Terry Farrelly, Tobias J. Osborne, Robert Salzmann, Daniel Scheiermann and Ramona Wolf. Training deep quantum neural networks. Nat. Commun. 11:808, (2020).

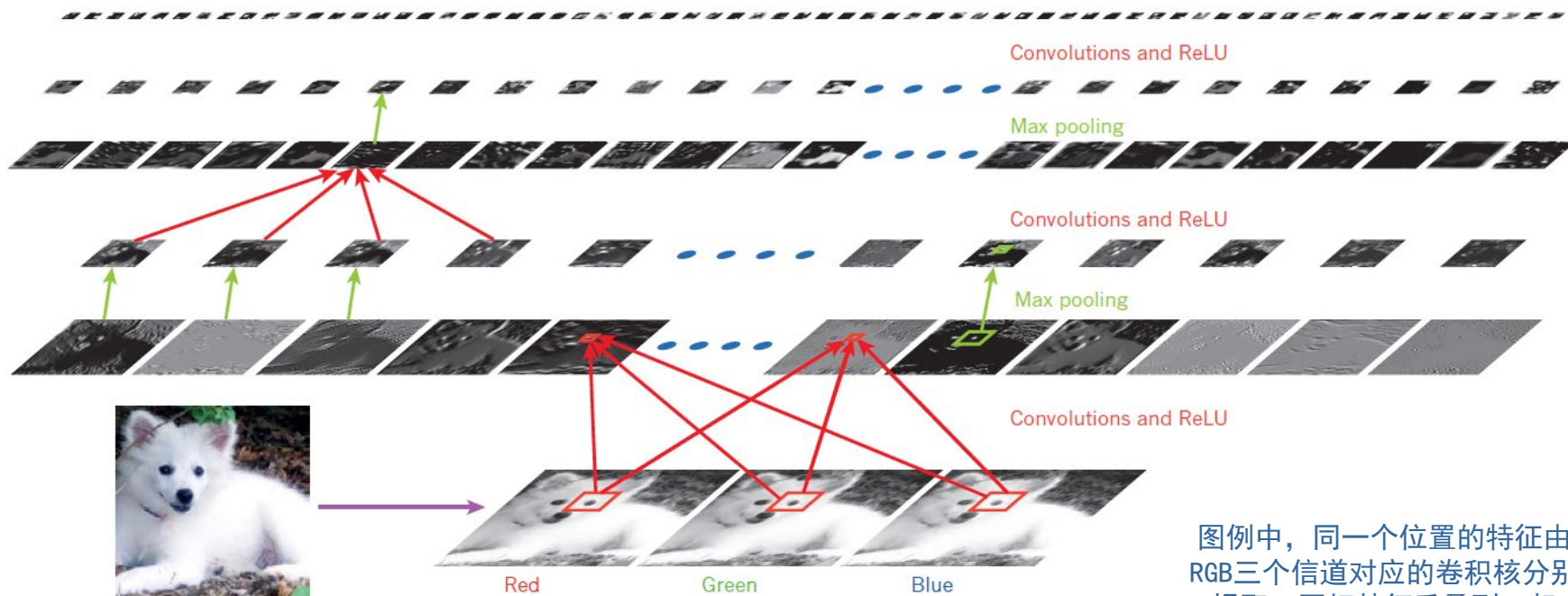
[15] Yusen Wu, Fei Gao et al., Quantum Restricted Boltzmann machine is universal for quantum computation. arXiv:2005.11970, (2020).

➤ 卷积神经网络（CNN）：包含卷积计算、具有深度结构（层数多）

□ 通常包括卷积层（激励函数为卷积运算）、池化层（降低特征维度）和全连接层（两层之间的节点全部互相连接，用来实现特征组合，一般在最后一步）^[16]

□ 被大量应用在图像识别等领域

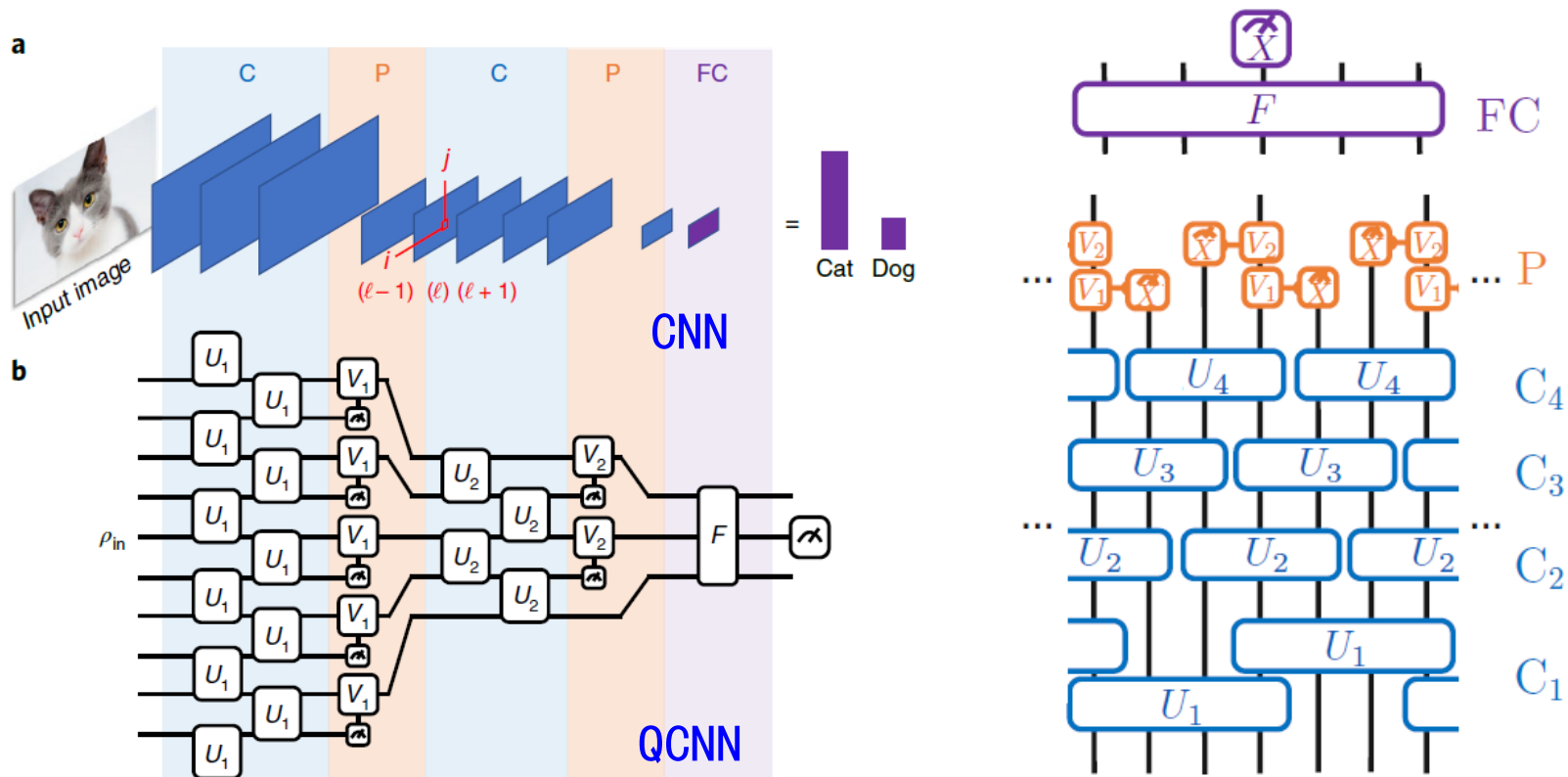
Samoyed (16); Papillon (5.7); Pomeranian (2.7); Arctic fox (1.0); Eskimo dog (0.6); white wolf (0.4); Siberian husky (0.4)



图例中，同一个位置的特征由RGB三个信道对应的卷积核分别提取，再把特征重叠到一起

➤ 量子卷积神经网络^[17]

- 也分为卷积层C（局部量子门）、池化层P（量子门+部分测量）以及全连接层FC（全局量子门）



- 在输入数据为量子态时，相比经典神经网络关于qubit数具有指数加速优势
 - ❑ 量子态区分问题（量子物理）[8]
 - ❑ 对称拓扑相区分问题（凝聚态物理）[17]
 - ❑ 计算多体物理系统对应哈密顿量的基态和激发态[6,7,9]
- 在模拟物理系统的波函数时，相比经典神经网络具有更强的表示能力[12-15]。
- 在处理经典任务时，量子神经网络对数据维度 d 具有指数加速效果
 - ❑ 求解数据集 $D = \{x_j\}, j = 1, \dots, N, x_j \in \mathbb{R}^d$ 的回归问题、分类问题[18]



➤ 部分量子机器学习算法

□ 有监督分类算法

- 最近邻相关算法
- 支持向量机
- 线性判别分析

□ 无监督分类算法

- K-means算法

□ 推荐系统

□ 神经网络

➤ 我们的相关成果

- **问题：**从交易数据库中找出频繁被顾客购买的商品组合（**项集**），即找出购买频率（**支持度**）超过某个人为设定的阈值（如50%）的商品组合（**频繁项集**）

交易	商品（项）
T ₀	面包、奶酪、牛奶
T ₁	面包、黄油
T ₂	奶酪、牛奶
T ₃	面包、奶酪
T ₄	奶酪、黄油、牛奶

k-项集：k个项（商品）的集合

例如，设定阈值=50%

频繁1-项集有：{面包} 60%，{奶酪} 80%，
{牛奶} 60%

频繁2-项集有：{奶酪，牛奶} 60%

- **效果：**平方加速（当 $M_f^{(k)} \ll M_c^{(k)}$ ，关于 $M_c^{(k)}$ 和 ϵ 均具有平方加速）

$M_c^{(k)}$ ：候选k-项集数目； $M_f^{(k)}$ ：频繁k-项集数目
 ϵ ：项集支持度估计误差

算法	时间复杂度
经典Apriori算法 [1]	$O((kM_c^{(k)})/\epsilon^2)$
所提量子算法[2]	$O(k\sqrt{M_c^{(k)}M_f^{(k)}}/\epsilon)$

[1] H. Mannila, H. Toivonen, and A. I. Verkamo, in *KDD-94: AAAI workshop on Knowledge Discovery in Databases*, 1994.

[2] Yu, C. H., Gao, F., Wang, Q. L., & Wen, Q. Y. Quantum algorithm for association rules mining. *Physical Review A*, 94(4), 042311, 2016.

➤ 问题：求解线性方程组 $T_n(f)\mathbf{x} = \mathbf{b}$

Toeplitz矩阵：

$$T_n = \begin{pmatrix} t_0 & t_{-1} & t_{-2} & \cdots & t_{-(n-1)} \\ t_1 & t_0 & t_{-1} & \ddots & \vdots \\ t_2 & t_1 & t_0 & \ddots & t_{-2} \\ \vdots & \ddots & \ddots & \ddots & t_{-1} \\ t_{(n-1)} & \cdots & t_2 & t_1 & t_0 \end{pmatrix}$$

应用中，常通过对连续函数的离散化得到

$$t_k = \frac{1}{2\pi} \int_0^{2\pi} f(\lambda) e^{-ik\lambda} d\lambda, k = 0, \pm 1, \pm 2, \dots$$

其中 $f(\lambda)$ 称为生成函数

➤ 效果：指数加速

当 n 足够大时，对于良态的Toeplitz系统 $[\kappa = O(\text{polylog } n)]$ ，量子算法具有指数加速效果

算法	时间复杂度
经典算法[1]	$O(n \log n)$
所提量子算法[2]	$O(\kappa \text{polylog } n)$

[1] R. M. Gray, Toeplitz and Circulant Matrices: A Review. Boston, 2006.

[2] Wan, L. C., Yu, C. H., Pan, S. J., Gao, F., Wen, Q. Y., & Qin, S. J. Asymptotic quantum algorithm for the Toeplitz systems. [Physical Review A](#), 97(6), 062322, 2018.



➤ 问题：求解线性方程组 $\mathbf{M}\mathbf{x} = \mathbf{b}$ ，其中系数矩阵 \mathbf{M} 具有位移结构

□ 几类典型的具有位移结构的矩阵

$$C_n = \begin{pmatrix} c_0 & c_1 & c_2 & \cdots & c_{(n-1)} \\ c_{(n-1)} & c_0 & c_1 & \cdots & c_{(n-2)} \\ c_{(n-2)} & & \ddots & \ddots & \vdots \\ \vdots & & \ddots & \ddots & c_1 \\ c_1 & \cdots & c_{(n-1)} & c_0 \end{pmatrix}$$

循环矩阵

$$T_n = \begin{pmatrix} t_0 & t_{-1} & t_{-2} & \cdots & t_{-(n-1)} \\ t_1 & t_0 & t_{-1} & \ddots & \vdots \\ t_2 & t_1 & t_0 & \ddots & t_{-2} \\ \vdots & \ddots & \ddots & \ddots & t_{-1} \\ t_{(n-1)} & \cdots & t_2 & t_1 & t_0 \end{pmatrix}$$

Toeplitz矩阵

$$H_n = \begin{pmatrix} h_0 & h_1 & h_2 & \cdots & h_{n-1} \\ h_1 & h_2 & & \ddots & h_n \\ h_2 & & \ddots & \ddots & \vdots \\ \vdots & h_{n-1} & \ddots & & h_{2n-3} \\ h_{n-1} & h_n & \cdots & h_{2n-3} & h_{2n-2} \end{pmatrix}$$

Hankel矩阵

□ Toeplitz-like/ Hankel-like矩阵：某些对角线/反对角线上存在一些元素与其他元素不相等

➤ 效果：

对于良态的系数矩阵，所提出的量子算法 (i) 在黑盒模型下具有平方加速效果；(ii) 在QRAM数据结构模型下具有指数加速效果。

算法	时间复杂度
经典算法[1]	$O(n \log n)$
所提量子算法[2]	黑盒模型 $O(\sqrt{n} \kappa \text{polylog}(1/\epsilon))$
	QRAM数据结构模型 $O(\kappa \text{polylog}(n/\epsilon))$

[1] R. M. Gray, Toeplitz and Circulant Matrices: A Review. Boston, 2006.

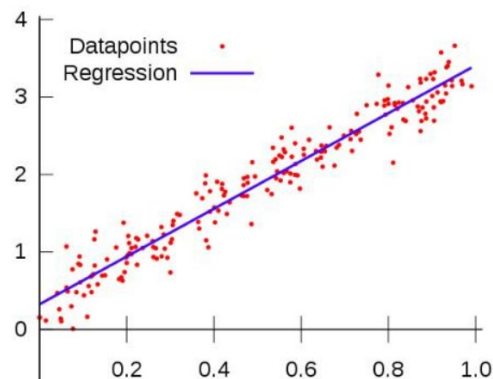
[2] Wan, L. C., Yu, C. H., Pan, S. J., Qin, S. J., Gao, F., & Wen, Q. Y. Block-encoding-based quantum algorithm for linear systems with displacement structures. *Physical Review A*, 104, 062414, 2021.

- **问题：** 给定 N 个数据点 $(\mathbf{x}_i, y_i)_{i=1}^N$ ，其中 $\mathbf{x}_i = (x_{i1} \cdots, x_{iM})^T \in R^M$ ， $y_i \in R$ 。线性回归的目标是拟合一个线性函数 $f(\mathbf{x}) = \mathbf{w}^T \mathbf{x}$ ，使得 $f(\mathbf{x}_i)$ 尽可能接近 y_i 。

岭回归：在一般线性回归中引入 \mathbf{w} 的正则化项，其拟合参数：

$$\begin{aligned} \mathbf{w} &= \underset{\mathbf{w}}{\operatorname{argmin}} \sum_{i=1}^N |f(\mathbf{x}_i) - y_i|^2 + \alpha \|\mathbf{w}\|^2 \\ &= (\mathbf{X}^T \mathbf{X} + \alpha \mathbf{I})^{-1} \mathbf{X}^T \mathbf{y} \end{aligned}$$

这里 $\mathbf{y} = (y_1, \cdots, y_N)^T$ ，且 $\mathbf{X} = (\mathbf{x}_1, \cdots, \mathbf{x}_N)^T$ ， α 为岭回归参数



- **效果：** 指数加速

当 $1/\epsilon$ ， $\kappa = O(\text{polylog } N)$ ， $\|\mathbf{X}\|_{\max} = \Theta(1)$ 时，量子算法具有指数加速效果

算法	时间复杂度
经典岭回归算法 [1]	$O\left(NM + N^2 R \log\left(\frac{R}{\epsilon}\right) / \epsilon^2\right)$
所提量子算法 [2]	$O(\ \mathbf{X}\ _{\max}^2 \text{polylog}(N + M) \kappa^3 / \epsilon^3)$

[1] S. Chen, Y. Liu, M. Lyu, I. King, and S Zhang,, Proc. 31th Conference on Uncertainty in Artificial Intelligence (2015), p. 201.

[2] Yu, C. H., Gao, F., & Wen, Q. An improved quantum algorithm for ridge regression. [IEEE Transactions on Knowledge and Data Engineering](#), 33(3), 858, 2021.

➤ 问题：在视频中确定感兴趣的移动目标

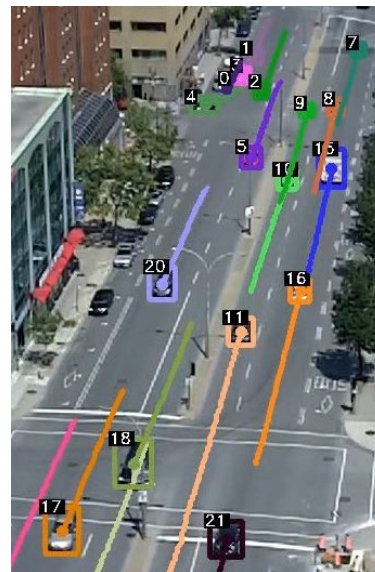
训练阶段：求如下 \mathbf{w} ：

$$\mathbf{w} = (X^T X + \alpha I)^{-1} X^T \mathbf{y} \quad X = \mathcal{C}(\mathbf{x}) = \begin{bmatrix} x_1 & x_2 & x_3 & \cdots & x_n \\ x_n & x_1 & x_2 & \cdots & x_{n-1} \\ \vdots & \vdots & \vdots & \ddots & \vdots \\ x_2 & x_3 & x_4 & \cdots & x_1 \end{bmatrix}$$

探测阶段：用一个 n 维的列向量 \mathbf{z} 表示 n 像素基础候选图像块，对应于 $n \times n$ 的循环矩阵 $Z = \mathcal{C}(\mathbf{z})$ ，这些图像块的响应可被预测为：

$$\hat{\mathbf{y}} = Z\mathbf{w}$$

其中 $\hat{\mathbf{y}}$ 的最大元素揭示了目标的位置



➤ 效果：指数加速

X 和 Z 的条件数 $\kappa_Z, \kappa_X = O(\text{polylog } n)$
时，量子算法具有指数加速效果

算法	时间复杂度
经典HCMB15算法 [1]	$O(n \log(n))$
所提量子算法[2]	$\tilde{O}(\text{polylog}(n) \kappa_Z (\kappa_Z + \kappa_X^2) / \epsilon)$

[1] Henriques J F, Caseiro R, Martins P, et al. IEEE Trans. Pattern Anal. Mach. Intell., 7, 583 (2015).

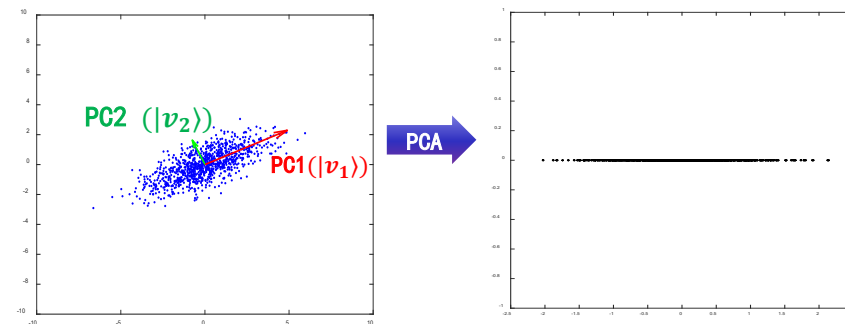
[2] Yu, C. H., Gao, F., Liu, C., Huynh, D., Reynolds, M., & Wang, J. Quantum algorithm for visual tracking. *Physical Review A*, 99(2), 022301, 2019.

- **问题：**数据降维是将高维数据集映射到低维空间并获得低维数据的过程，其中最具有代表性的线性降维方法为**主成分分析（PCA）**

主成分分析：给定数据矩阵 $X = (\mathbf{x}_1, \dots, \mathbf{x}_N)^T \in R^{N \times D}$ ，其中每个 $\mathbf{x}_i \in R^D$ ，构造由 X 的 d 个主特征向量组成的投影矩阵 P ，则低维数据为

$$Y = P^T X \in R^{N \times d}$$

其中 $Y = (\mathbf{y}_1, \dots, \mathbf{y}_N)^T \in R^{N \times d}$ ， $\mathbf{y}_i \in R^d$



- **效果：指数加速**

对比经典算法，当 $d = O(\text{polylog}(D))$ 时，量子算法具有指数加速效果

算法	时间复杂度
经典算法[1]	$O(\text{poly}(N, D))$
所提量子算法[2]	$O(d^3 \text{polylog}(N, D))$

[1] Bishop, C. M. (2006). Pattern recognition and machine learning. springer.

[2] Yu, C. H., Gao, F., Lin, S., & Wang, J. Quantum data compression by principal component analysis. [Quantum Information Processing](#), 18(8), 249, 2019.

- 背景：A最优投影线性降维技术，其目的是提高在降维空间中的回归性能

Duan et al. [1]:

复杂度指数依赖于迭代次数 s

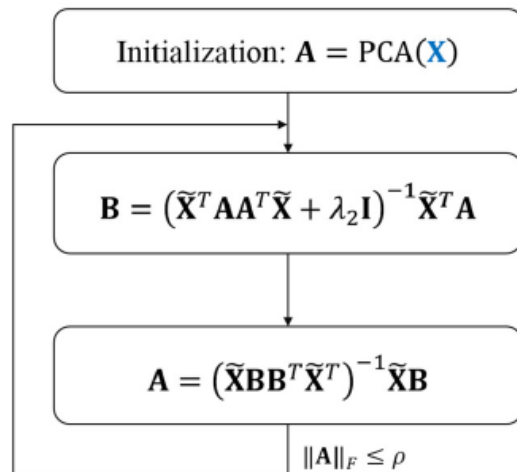
- 因为未知量子态不可克隆，而每轮迭代都要消耗多份 $|\psi_{A^{(i)}}\rangle$

Ours [2]:

复杂度平方依赖于 s

- 迭代不需要消耗 $|\psi^{(i)}\rangle$
- 数值分析： $s = \Omega(\kappa + k + \log_2 1/\epsilon)$

Classical



算法	时间复杂度
Duan et al.[1]	$O(\frac{\kappa^{4s} \sqrt{k^s}}{\epsilon^s} \text{polylog}^s(\frac{mn}{\epsilon}))$
Ours[2]	$O(\frac{s \kappa^6 \sqrt{k}}{\epsilon} \text{polylog}(\frac{mn}{\epsilon}) + \frac{s^2 \kappa^4}{\epsilon} \text{polylog}(\frac{\kappa k}{\epsilon}))$

m : 数据条数

ϵ : 精度参数

s : 迭代次数

n : 特征个数

κ : 数据矩阵的条件数

$m = \Theta(n)$

k : 降维后数据的特征个数

[1] Duan B et al. Quantum algorithm and quantum circuit for a-optimal projection: Dimensionality reduction[J]. Physical Review A, 2019, 99(3): 032311.

[2] Pan Shi-Jie et al. Improved quantum algorithm for A-optimal projection. [Physical Review A](#), 102(5): 052402, 2020.

背景：谱回归是一个降维算法的框架，包含了PCA(主成分分析)和LDA(线性判别分析)等降维算法。

- ❑ **难点：**量子主成分分析无法得到主特征值相同的矩阵对应的特征向量
- ❑ **方法：**绕开主成分分析，使算法适用于主特征值相同的情况
- ❑ **效果：**多项式级加速（当精度参数的倒数、标签数和数据矩阵的条件数均远小于数据矩阵的维度时）

量子算法复杂度

$$O\left[\frac{c^2 \kappa^2 M}{\epsilon} \text{polylog}(M + N)\right]$$

经典算法复杂度

$$O(c^2 M + c M N s)$$

M : 数据条数 N : 特征个数, 满足 $N = \Theta(M)$
 ϵ : 精度参数 s : 迭代次数 c : 标签数
 κ : 数据矩阵的条件数

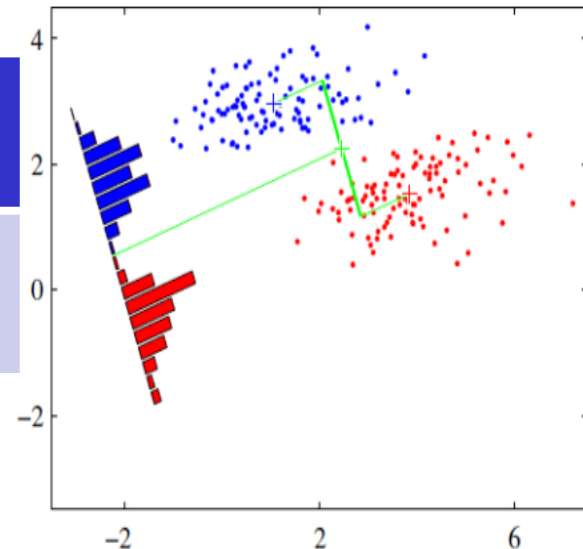


图1. 降维示意图

□ 定义：Dirichlet边界（边界函数值为0）条件下的 d 维泊松方程：

$$-\Delta\mu(\mathbf{x}) = f(\mathbf{x}), \quad \mathbf{x} \in I_d := (0,1)^d$$

其中 $\Delta\mu(\mathbf{x}) = \sum_{i=1}^d d^2\mu/dx_i^2$ ， x_i 是 \mathbf{x} 的第 i 个元素， $\mu(\mathbf{x})$ 和 $f(\mathbf{x})$ 是连续函数

□ 应用：计算流体力学^[2-3]、马尔科夫链^[4]

□ 经典求解：有限差分和谱方法^[5-6]

- 核心：离散化泊松方程得到线性方程，用线性方程的解来近似泊松方程的解
- 困难：维数通常非常大，经典方法复杂度高、量子方法^[7-8]需要通用量子计算机

□ 我们的算法^[1]：

设计变分量子算法来求解离散泊松方程得到的线性方程组

□ 效果：可在近期量子设备上实现（量子比特数目少和线路深度浅）

[1] H L. Liu, Y S. Wu, L C. Wan, S J. Pan, F. Gao, S J. Qin, Q Y. Wen, Variational quantum algorithm for the Poisson equation, Phys. Rev. A.104(2) 022418, 2021.

- [2] Batchelor G K. (Cambridge: Cambridge University Press) (2000); [3] Fletcher C A J. vol 1, 2nd edn (Berlin: Springer) (1991)
[4] Meyn S P. (Cambridge: Cambridge University Press) (2007); [5] G. E. Forsythe, W. R. Wasow, and W. Nachbar, Physics, Today 14, 58 (1961).
[6] G. B. Folland, (Princeton university press, 1995); [7] Cao, Y, Papageorgiou, A., et al. New J. Phys. 15, 013021 (2013).
[8] 7. Childs, A.M., Liu, J. P. & Ostrander, arXiv:2002.07868 (2020).



谢谢!

